# Síntese e caracterização de complexos de rutênio: formação *in situ* de óxido nítrico causada por transferência eletrônica fotoinduzida

Giseli Oriani (IC)<sup>1\*</sup>, Marília G. Sauaia (PQ)<sup>1</sup>, Maria Vitória L. B. Bentley (PQ)<sup>1</sup>, Roberto S. da Silva (PQ)<sup>1</sup>
\*giseli\_oriani@yahoo.com.br

Faculdade de Ciências Farmacêuticas de Ribeirão Preto - USP. Av. do Café s/n, 14040-903, SP, Brasil

Palavras Chave: óxido nítrico, rutênio, transferência eletrônica fotoinduzida

#### Introdução

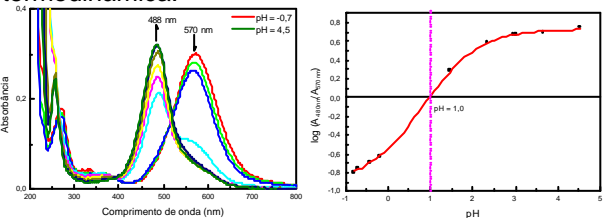
O óxido nítrico (NO) participa de uma série de eventos biorregulatórios, como controle da pressão sanguínea (via vasodilatação), neurotransmissão e citotoxicidade de macrófagos  $^{[1]}$ . Porém, sua instabilidade em sistemas biológicos (t $_{1/2}\approx 3$ s) dificulta o estudo de seus efeitos. Assim, existe um grande interesse em compostos que possam ser veículos de liberação controlada de NO a partir de estímulo químico, eletroquímico ou fotoquímico.

Para gerar NO, nesse trabalho, foi sintetizado **(A)** [Ru<sub>A</sub>(Mepz)(NH<sub>3</sub>)<sub>4</sub>(pz)Ru<sub>B</sub>(bpy)<sub>2</sub>(NO)](PF<sub>6</sub>)<sub>6</sub> e seus respectivos fragmentos:**(B)** t-[Ru(Mepz)(NH<sub>3</sub>)<sub>4</sub>(pz)]<sup>3+</sup> e **(C)** c-[Ru(bpy)<sub>2</sub>(pz)(NO)]<sup>3+</sup>.

### Resultados e Discussão

Os complexos foram sintetizados com base em rotas descritas para compostos semelhantes<sup>[2a]</sup>. As espécies foram caracterizadas por análise elementar, espectroscopia na região do UV-visível e do infravermelho e voltametria cíclica.

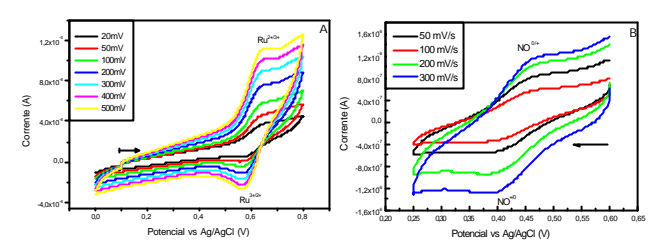
O valor do pKa do complexo **(B)** foi quantificado em 1,0 por espectroscopia UV-visível (Figura 1). Esse valor é menor que valores encontrados para espécies semelhantes<sup>[2b]</sup>. Isso mostra que o forte caráter π-receptor do ligante Mepz diminui a densidade eletrônica sobre o ligante pz. Com isso, o complexo binuclear formado **(A)** apresenta uma maior retrodoação do metal Ru<sub>B</sub> para o ligante ponte pz, o que pode lhe conferir uma maior estabilidade termodinâmica.



**Figura 1.** Espectro UV-vis de **(B)** em diferentes pHs e curva para a determinação do pKa.

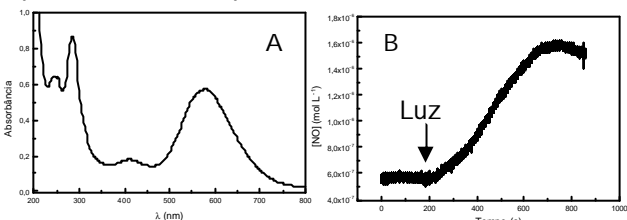
Os voltamogramas cíclicos em tampão acetato (pH=4,5) para a espécie **(B)** mostraram um processo redox reversível centrado no íon metálico (Ru<sup>2+/3+</sup>) ao redor de +0,62 V vs Ag/AgCl (Figura 2A). Para a espécie **(A)**, o processo ao redor de +0,45 V vs

Ag/AgCl é referente à oxi-redução do ligante nitrosil (NO<sup>+/0</sup>) (Figura 2B).



Figuras 2A e 2B. Voltamogramas cíclicos, em meio aquoso, para as espécies (A) e (B).

A banda em 590 nm de **(A)** é devido à transição  $d_\pi R u_A \rightarrow \pi (Mepz, pz)$  e propicia a fotoexcitação da molécula acarretando a liberação de NO (Figura 3). O mecanismo fotoquímico da espécie **(A)** está representado no Esquema 1.



**Figura 3.**  $[Ru_A(Mepz)(NH_3)_4(pz)Ru_B(bpy)_2(NO)]^{6+}$  em tampão fosfato pH = 7,4. A) Espectro UV-vis e B) Liberação fotoinduzida de óxido nítrico.



Esquema 1. Mecanismo fotoquímico de (A).

#### Conclusões

A geração de NO a partir do complexo binuclear (A) mediante um estímulo luminoso na região do visível ocorre após um processo de transferência eletrônica fotoinduzida.

#### Agradecimentos

FAPESP, CNPq e CAPES.

<sup>&</sup>lt;sup>1</sup> Ignarro L. Nitric Oxide. Academic Press, **2000**.

## Sociedade Brasileira de Química (SBQ)

<sup>&</sup>lt;sup>2</sup> a) Sauaia, M.G.; de Lima, R. G.; Tedesco, A.C.; da Silva, R.S. *J. Am. Chem. Soc.*, **2003**, *125*, 14718. b) Bento, M.L.; Tfoini, E. *Inorg. Chem.* **1988**, *27*, 3410.